

УДК 532.5

## ОБ УСТОЙЧИВОСТИ ТЕРМОВИБРАЦИОННОГО ТЕЧЕНИЯ В НАКЛОННОМ СЛОЕ ЖИДКОСТИ ПРИ КОНЕЧНЫХ ЧАСТОТАХ ВИБРАЦИИ

Б. Л. Смородин

Пермский государственный университет, 614600 Пермь

Исследована устойчивость течения неоднородно нагретой жидкости, возникающего в наклонном слое под действием силы тяжести и продольных вибраций конечной частоты. Методом Флоке проведен анализ линеаризованных уравнений конвекции в приближении Буссинеска. Изучена устойчивость течения по отношению к плоским, спиральным и пространственным возмущениям. Показано, что при конечных частотах имеются области параметрической неустойчивости, обусловленные плоскими возмущениями. В зависимости от амплитуды и частоты вибрации могут как стабилизировать неустойчивое основное состояние, так и дестабилизировать течение жидкости. В случае спиральных возмущений граница устойчивости не зависит от амплитуды и частоты вибраций.

**Ключевые слова:** термовибрационная конвекция, параметрическая неустойчивость, наклонный слой жидкости.

**Введение.** Исследованию термовибрационной конвекции посвящено большое число работ, обзор которых имеется в [1]. Интерес к этой проблеме оправдан как с практической, так и с теоретической точек зрения. Периодическое воздействие, в частности вибрации, оказывает сильное влияние на устойчивость жидкости в статических полях и может быть использовано для управления движением жидкости в различных технологических процессах, например при производстве высокочистых материалов на борту орбитальных станций. Во многих работах, посвященных изучению проблемы вибрационной конвекции, рассматривается случай малых амплитуд и высоких частот вибрации и используется эффективный метод осреднения [2]. В высокочастотном пределе в силу того, что период вибраций мал по сравнению с характерными гидродинамическим и тепловым временами системы, амплитуда и частота вибраций не являются независимыми параметрами, а резонансные эффекты отсутствуют.

Исследование термовибрационной конвекции при конечных частотах вибрации также представляет значительный интерес. Эксперименты, проведенные на борту орбитальных станций, свидетельствуют о существовании эффекта  $g$  — jitter, когда поле ускорений имеет постоянную и нестационарную компоненты [3]. Во многих случаях амплитуда и частота вибраций являются независимыми параметрами. При этом проявляются механизмы неустойчивости, связанные с параметрическим резонансом. Различные аспекты конвекции в первоначально покоящейся жидкости под действием вертикальных вибраций конечной частоты, представляющих собой модуляции поля силы тяжести, изучались в [4, 5]. Устойчивость термовибрационного течения, возникающего в горизонтальном слое жидкости под

---

Работа выполнена при финансовой поддержке Американского фонда гражданских исследований и развития (US Civilian Research Development Foundation) (грант N PE-009-0) и Российского фонда фундаментальных исследований (код проекта 02-01-96407).

влиянием продольной вибрации произвольной частоты, по отношению к плоским возмущениям рассмотрена в [6] для условий невесомости и в [7] для статического поля силы тяжести. Исследованы предельные случаи низких и высоких частот вибрации, для конечных частот внешнего воздействия определены области параметрической неустойчивости.

Однако в поле силы тяжести пространственные возмущения термовибрационного течения, роль которых не обсуждалась в [7], могут быть более опасны, чем плоские. Конкуренция плоских и пространственных мод неустойчивости в случае стационарных конвективных течений рассматривалась в [8]. При отклонении слоя от горизонтали стратификация неоднородно нагретой жидкости порождает термогравитационное течение, которое может оказать существенное влияние на конвективную устойчивость в вибрационном поле. Взаимовлияние термогравитационного и вибрационного механизмов неустойчивости рассматривалось ранее для продольных вибраций вертикального слоя только в высокочастотном пределе [9].

В данной работе изучена конвективная устойчивость нестационарного течения однородной несжимаемой жидкости в плоском слое под действием продольных гармонических вибраций конечной частоты и амплитуды при произвольной ориентации слоя относительно направления силы тяжести. Для периодического неизотермического течения получен аналог преобразований Сквайра, позволяющих свести задачу устойчивости по отношению к трехмерным возмущениям к соответствующей двумерной задаче. Исследовано поведение плоских, спиральных и пространственных возмущений. Показано, что в статическом поле силы тяжести существует область параметров, в которой неустойчивость течения как в горизонтальном, так и в наклонном слоях связана со спиральными возмущениями.

**1. Постановка задачи. Плоские возмущения.** Рассмотрим плоский слой однородной жидкости, границы которого нагреты до различных температур ( $T = \mp \Theta$ ) и составляют угол  $\alpha_0$  с вертикальным направлением. Весь слой находится в статическом поле силы тяжести  $\mathbf{g}_0$  и подвержен линейным гармоническим вибрациям в направлении оси  $x$ , параллельной его границам. Координаты твердых плоскостей, ограничивающих слой:  $z = \pm h$ . Случай, когда вибрационные скорости много меньше акустических, аналогичен случаю модуляции гравитационного поля по закону  $\mathbf{g} = \mathbf{g}_0 + b\Omega^2 \mathbf{n} \sin(\Omega t)$ , где  $\mathbf{n} = (1, 0, 0)$  — единичный вектор вдоль оси вибраций;  $\Omega$  — угловая частота;  $b$  — амплитуда смещения.

Используя в качестве масштаба расстояний величину  $h$ , времени —  $h^2/\nu$ , скорости —  $\nu/h$ , температуры —  $\Theta$ , давления —  $\rho\nu^2/h^2$  ( $\rho$  — плотность жидкости,  $\nu$  — кинематическая вязкость), запишем уравнения конвекции в приближении Буссинеска в колеблющейся системе координат:

$$\begin{aligned} \frac{\partial \mathbf{v}}{\partial t} + (\mathbf{v} \nabla) \mathbf{v} &= -\nabla p + \Delta \mathbf{v} + \text{Gr}_v T \mathbf{n} \sin(\omega t) + \text{Gr} T \cdot \mathbf{m}, \\ \frac{\partial T}{\partial t} + \mathbf{v} \nabla T &= \frac{1}{\text{Pr}} \Delta T, \quad \text{div } \mathbf{v} = 0, \quad \mathbf{m} = (\cos \alpha_0, 0, \sin \alpha_0), \\ z = \pm 1: \quad \mathbf{v} &= 0, \quad T = \mp 1. \end{aligned} \quad (1)$$

Здесь  $\mathbf{v}$  — скорость;  $p$  — давление;  $T$  — температура, отсчитываемая от некоторого среднего значения;  $\text{Gr} = g_0 \beta_T \Theta h^3 / \nu^2$  — число Грасгофа;  $\text{Gr}_v = b \Omega^2 \beta_T \Theta h^3 / \nu^2$  — вибрационный аналог числа Грасгофа;  $\beta_T$  — коэффициент теплового расширения;  $\text{Pr} = \nu / \chi$  — число Прандтля;  $\chi$  — температуропроводность жидкости;  $\omega = \Omega h^2 / \nu$  — безразмерная частота вибрации.

Можно получить точное решение системы (1), в котором распределение температуры зависит только от поперечной координаты ( $T_0 = T_0(z)$ ) и порождает периодическое плоскопараллельное течение с отличной от нуля продольной компонентой скорости  $v_0(v_0(z, t), 0, 0)$ . Это решение удовлетворяет граничным условиям

$$z = \pm 1: \quad v_0 = 0, \quad T_0 = \mp 1, \quad (2)$$

а также условию замкнутости потока

$$\int_{-1}^1 v_0 dz = 0. \quad (3)$$

Из (1)–(3) можно найти распределения скорости и температуры в основном состоянии:

$$v_0 = (\text{Gr}/6)(z^3 - z) \cos \alpha_0 + \text{Gr}_v V_0(\omega, z, t) = \text{Gr} f_1(z) \cos \alpha_0 + \text{Gr}_v f_2(\omega, z), \quad T_0 = -z. \quad (4)$$

Таким образом, в слое возникает комбинированное течение со скоростью  $v_0$ , имеющее две составляющие. Первая (термогравитационная) составляющая течения с кубическим профилем скорости устанавливается в слое даже в отсутствие вибраций. Интенсивность такого течения зависит от угла наклона слоя: она максимальна при вертикальной ориентации слоя ( $\alpha_0 = 0$ ) и равна нулю при  $\alpha_0 = 90^\circ$ . Профиль скорости второй (термовибрационной) составляющей течения зависит от частоты и амплитуды вибраций [6]:

$$\begin{aligned} V_0 &= V_c(z, \omega) \cos(\omega t) + V_s(z, \omega) \sin(\omega t), \\ V_c &= \frac{1}{\omega} \left( z + \frac{\text{ch } \alpha \cos \beta - \text{ch } \beta \cos \alpha}{\cos 2\alpha - \text{ch } 2\alpha} \right), \quad V_s = \frac{1}{\omega} \frac{\text{sh } \alpha \sin \beta - \text{sh } \beta \sin \alpha}{\cos 2\alpha - \text{ch } 2\alpha}, \\ \alpha &= \alpha(1+z), \quad \beta = \alpha(1-z), \quad \alpha = \sqrt{\omega/2}. \end{aligned} \quad (5)$$

Рассмотрим малые плоские возмущения основного состояния (5)  $v'(v'_x, 0, v'_z)$  ( $v'_x = v'_x(x, z, t)$ ,  $v'_z = v'_z(x, z, t)$ ),  $T'(x, z, t)$  и  $p'(x, z, t)$ . Подставляя возмущенные поля в исходную систему (1) и проводя линеаризацию около основного состояния, получим систему уравнений для возмущений. Введем функцию тока  $\Psi'$  для возмущений скорости

$$v'_x = -\frac{\partial \Psi'}{\partial z}, \quad v'_z = \frac{\partial \Psi'}{\partial x} \quad (6)$$

и рассмотрим возмущения типа “нормальных” мод:

$$\Psi'(x, z, t) = \varphi(z, t) \exp(ikx), \quad T'(x, z, t) = \theta(z, t) \exp(ikx). \quad (7)$$

Здесь  $\varphi, \theta$  — амплитуды;  $k$  — волновое число, характеризующее пространственную периодичность возмущений. Подставляя (6), (7) в уравнения возмущений и исключая давление обычным способом, получим систему амплитудных уравнений

$$\begin{aligned} \frac{\partial \Delta \varphi}{\partial t} + ik \hat{H}(v_0) \varphi &= \Delta^2 \varphi + \text{Gr}(ik\theta \sin \alpha_0 - \theta' \cos \alpha_0) - \text{Gr}_v \theta' \sin(\omega t), \\ \frac{\partial \theta}{\partial t} - ik\varphi + ikv_0\theta &= \frac{1}{\text{Pr}} \Delta \theta, \quad \Delta \equiv \frac{d^2}{dz^2} - k^2, \quad \hat{H}(v_0) \varphi \equiv v_0 \Delta \varphi - \varphi v_0'', \\ z = \pm 1: \quad \varphi = \varphi' = 0, \quad \theta &= 0. \end{aligned} \quad (8)$$

Здесь и далее штрих означает дифференцирование по поперечной координате  $z$ .

Амплитудная задача (8) определяет поведение “нормальных” возмущений. В общем случае для нахождения границы устойчивости произвольных амплитуды и частоты вибраций используется теория Флоке [10], с помощью которой определяются условия существования периодических решений амплитудной задачи. Для аппроксимации возмущений функции тока и температуры используются наборы пространственных базисных функций с зависящими от времени коэффициентами:

$$\varphi = \sum_{m=0}^{M-1} a_m(t) \varphi_m, \quad \theta = \sum_{m=0}^{M-1} b_m(t) \theta_m, \quad (9)$$

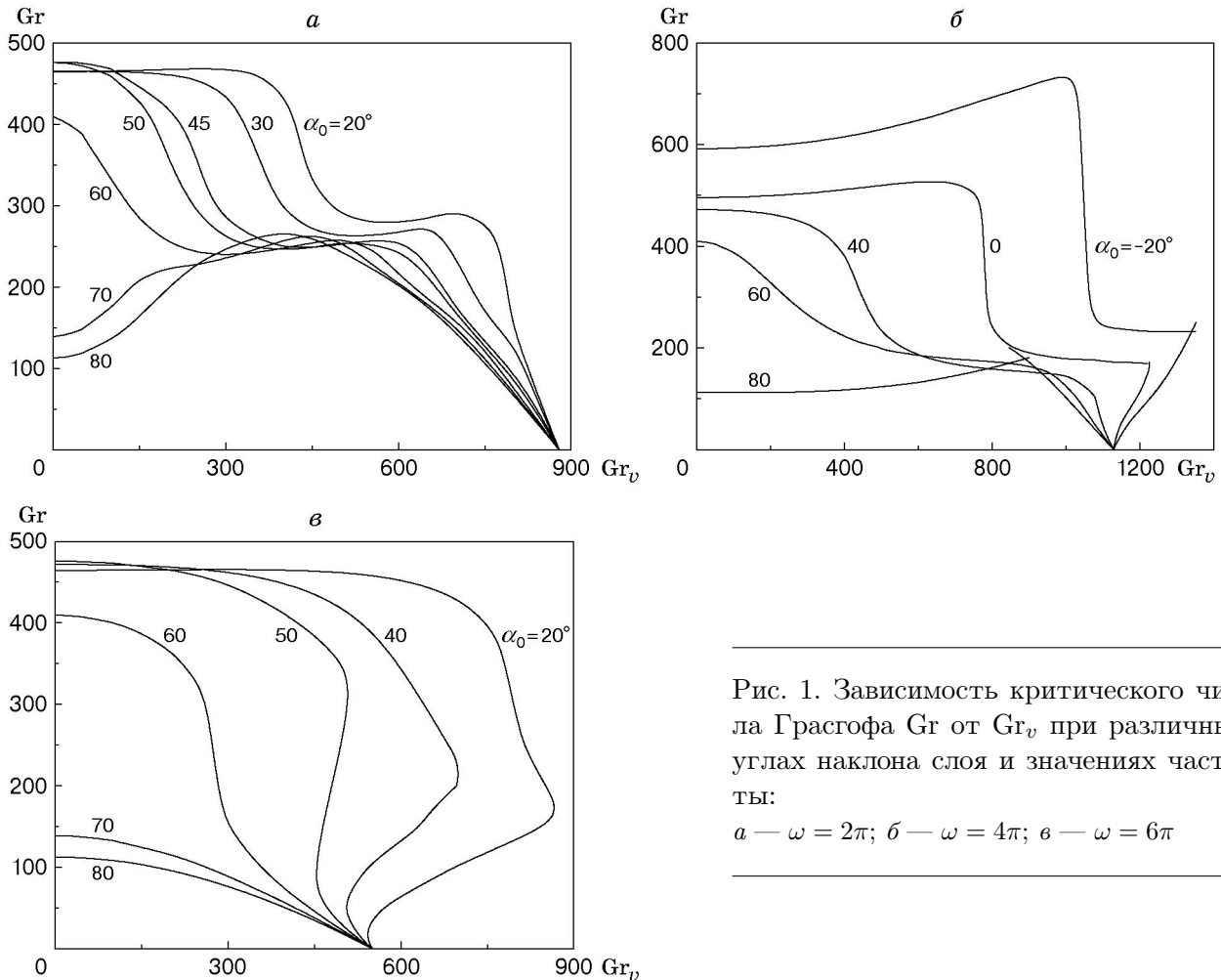


Рис. 1. Зависимость критического числа Грасгофа  $Gr$  от  $Gr_v$  при различных углах наклона слоя и значениях частоты:

$a$  —  $\omega = 2\pi$ ;  $b$  —  $\omega = 4\pi$ ;  $v$  —  $\omega = 6\pi$

где  $M$  — число базисных функций. В качестве базисных функций  $\varphi_m$  и  $\theta_m$  использовались собственные функции задачи о затухающих возмущениях в неподвижном слое [8]. Подставляя разложения (9) в систему (8) и проводя ортогонализацию по методу Галеркина, получим набор обыкновенных дифференциальных уравнений для коэффициентов  $a_m(t)$ ,  $b_m(t)$ , который интегрируется методом Рунге — Кутты. При произвольных значениях параметров решение задачи о возмущениях может нарастать либо затухать. Границы устойчивости соответствуют периодические возмущения: субгармонические с периодом, в два раза превышающим период внешнего воздействия, либо синхронные, период которых совпадает с периодом вибраций.

Все расчеты проведены при числе Прандтля  $Pr = 1$ , при котором термогравитационное течение в статическом поле силы тяжести неустойчиво по отношению к монотонной гидродинамической моде. Следовательно, без вибраций на границе устойчивости возмущения стационарны — отсутствует характерная частота нейтральных колебаний  $\omega_0$ . Это приводит к тому, что при переменном внешнем воздействии с частотой  $\omega$  не возникают квазипериодические (двухчастотные) возмущения. Для большинства найденных решений использовались 16 базисных функций ( $M = 8$ ). В проверочных расчетах, проведенных с 20 базисными функциями ( $M = 10$ ), пороги конвекции изменялись менее чем на 1 %.

Границы устойчивости на плоскости  $(Gr_v, Gr)$  в зависимости от угла наклона слоя  $\alpha_0$  при различных значениях частоты модуляции представлены на рис. 1. Области устойчивости ограничены кривыми  $Gr = f(Gr_v)$  и осями координат. Отметим, что, как и в случае

горизонтального слоя [7], в исследованной области параметров обнаружены только возмущения синхронного отклика. В зависимости от угла наклона слоя, а также от амплитуды и частоты вибраций взаимодействие вибрационного и термогравитационного механизмов неустойчивости может приводить к стабилизации или дестабилизации основного состояния. Предельный случай  $Gr \rightarrow 0$  соответствует влиянию слабого термогравитационного течения на развитое вибрационное. Это влияние неоднозначно: при углах наклона слоя к вертикали, превышающих некоторое критическое значение  $\alpha_*(\omega)$ , порог вибрационной конвекции с ростом числа Грасгофа  $Gr$  понижается, а в случае  $\alpha_0 < \alpha_*(\omega)$  устойчивость вибрационного течения повышается. Предел  $Gr_v \rightarrow 0$  соответствует влиянию слабых вибраций на развитое термогравитационное течение. В зависимости от углов наклона слоя и частоты возможно подавление неустойчивости, например при  $\alpha_0 = 70, 80^\circ$ ,  $\omega = 2\pi$  (рис. 1, а), либо понижение порогов появления нарастающих возмущений.

В диапазоне  $90^\circ < \alpha_0 < 50^\circ$  в случае сильных вибраций ( $Gr_v > Gr_{v*}(\omega)$ ) положение границы устойчивости слабо меняется. Это происходит, когда интенсивность термогравитационной части основного течения значительно меньше интенсивности термовибрационной составляющей. Например, при  $\omega = 2\pi$  (рис. 1, а) пороговое число Грасгофа  $Gr_{v*} \approx 250$ . Рост частоты вибраций приводит к вытеснению области термовибрационного течения к границам слоя, что сужает диапазон амплитуд вибрации, при которых термогравитационное течение слабо влияет на термовибрационную составляющую. В пределе высоких частот вибрации имеет место взаимодействие механизмов неустойчивости термогравитационного течения и стратифицированной жидкости в высокочастотном вибрационном поле.

При  $\omega = 4\pi$  (рис. 1, б) граница устойчивости при некоторых углах наклона ( $\alpha_0 = 80, 0, -20^\circ$ ) состоит из двух частей, в окрестности пересечения которых конкурируют возмущения с разными пространственными периодами. При достаточно высоких частотах ( $\omega = 6\pi$ ) граница устойчивости  $Gr(Gr_v)$  может иметь участок неоднозначности при  $\alpha_0 = 20 \div 50^\circ$  (рис. 1, в), что связано с подавлением вибрационной неустойчивости достаточно сильным термогравитационным течением.

**2. Пространственные возмущения.** Рассматривая устойчивость термовибрационного течения в поле вибраций конечной частоты по отношению к пространственным возмущениям, необходимо использовать преобразования Сквайра, которые позволяют свести задачу об устойчивости плоскопараллельных течений по отношению к пространственным возмущениям к задаче о плоских возмущениях [8]. При известных пороговых характеристиках неустойчивости течений по отношению к плоским возмущениям формулы перехода позволяют пересчитать критические значения конвективной неустойчивости для пространственных мод и изучить конкуренцию различных типов возмущений.

Рассмотрим амплитудную задачу, характеризующую поведение нормальных пространственных возмущений в случае комбинированного термовибрационного и термогравитационного течения (4). Предполагается, что все возмущения периодически меняются в плоскости слоя  $(x, y)$ , а скорость имеет три компоненты:

$$(v_x, v_y, v_z, T, p) \sim \exp(ik_x x + ik_y y).$$

Здесь  $k_x, k_y$  — компоненты волнового вектора. Амплитудные уравнения для пространственных возмущений, записанные в терминах скорости, и граничные условия к ним имеют вид

$$\begin{aligned} \frac{\partial v_x}{\partial t} + ik_x(Gr f_1 \cos \alpha_0 + Gr_v f_2(\omega))v_x + (Gr f_1' \cos \alpha_0 + Gr_v f_2'(\omega))v_z = \\ = -ik_x p + v_x'' - k^2 v_x + Gr \theta \cos \alpha_0 + Gr_v \theta \sin(\omega t), \\ \frac{\partial v_y}{\partial t} + ik_x(Gr f_1 \cos \alpha_0 + Gr_v f_2(\omega))v_y = -ik_y p + v_y'' - k^2 v_y, \end{aligned}$$

$$\begin{aligned} \frac{\partial v_z}{\partial t} + ik_x(\text{Gr} f_1 \cos \alpha_0 + \text{Gr}_v f_2(\omega))v_z &= -p' + v_z'' - k^2 v_z + \text{Gr} \theta \sin \alpha_0, \\ \frac{\partial \theta}{\partial t} - v_z + ik_x(\text{Gr} f_1 \cos \alpha_0 + \text{Gr}_v f_2(\omega))\theta &= \frac{1}{\text{Pr}}(\theta'' - k^2 \theta), \\ ik_x v_x + ik_y v_y + v_z' &= 0, \quad k^2 = k_x^2 + k_y^2, \\ z = \pm 1: \quad v_x = v_y = v_z &= 0, \quad \theta = 0. \end{aligned} \quad (10)$$

Краевая задача для плоских возмущений

$$(\bar{v}_x, \bar{v}_z, \bar{T}, \bar{p}) \sim \exp(i\bar{k}x)$$

может быть получена из (10), если положить  $v_y = 0$ ,  $k_y = 0$  (все неизвестные функции и параметры, соответствующие плоской задаче, будем отмечать чертой сверху).

Перепишем амплитудную задачу (10) для плоских возмущений в виде

$$\begin{aligned} \frac{\partial \bar{v}_x}{\partial t} + i\bar{k}(\bar{\text{Gr}} f_1 \cos \bar{\alpha}_0 + \bar{\text{Gr}}_v f_2(\bar{\omega}))\bar{v}_x + (\bar{\text{Gr}} f_1' \cos \bar{\alpha}_0 + \bar{\text{Gr}}_v f_2'(\bar{\omega}))\bar{v}_z &= \\ = -i\bar{k}\bar{p} + \bar{v}_x'' - \bar{k}^2 \bar{v}_x + \bar{\text{Gr}}\bar{\theta} \cos \bar{\alpha}_0 + \bar{\text{Gr}}_v \bar{\theta} \sin(\bar{\omega}t), \\ \frac{\partial \bar{v}_z}{\partial t} + i\bar{k}(\bar{\text{Gr}} f_1 \cos \bar{\alpha}_0 + \bar{\text{Gr}}_v f_2(\bar{\omega}))\bar{v}_z &= -\bar{p}' + \bar{v}_z'' - \bar{k}^2 \bar{v}_z + \bar{\text{Gr}}\bar{\theta} \sin \bar{\alpha}_0, \\ \frac{\partial \bar{\theta}}{\partial t} - \bar{v}_z + i\bar{k}(\bar{\text{Gr}} f_1 \cos \bar{\alpha}_0 + \bar{\text{Gr}}_v f_2(\bar{\omega}))\bar{\theta} &= \frac{1}{\bar{\text{Pr}}}(\bar{\theta}'' - \bar{k}^2 \bar{\theta}), \quad i\bar{k}_x \bar{v}_x + \bar{v}_z' = 0, \\ z = \pm 1: \quad \bar{v}_x = \bar{v}_z &= 0, \quad \bar{\theta} = 0. \end{aligned} \quad (11)$$

Трехмерная задача (10) может быть сведена к двумерной (11) с помощью следующих преобразований:

$$\begin{aligned} v_z = \bar{v}_z, \quad k_x v_x + k_y v_y = \bar{k} \bar{v}_x, \quad p = \bar{p}, \quad \theta = \bar{\theta}, \quad \omega = \bar{\omega}, \\ \text{Pr} = \bar{\text{Pr}}, \quad k^2 = \bar{k}^2, \quad k_x \text{Gr}_v = \bar{k} \bar{\text{Gr}}_v, \quad k_x \text{Gr} \cos \alpha_0 = \bar{k} \bar{\text{Gr}} \cos \bar{\alpha}_0, \\ \text{Gr} \sin \alpha_0 = \bar{\text{Gr}} \sin \bar{\alpha}_0. \end{aligned}$$

Таким образом, при переходе к трехмерным возмущениям вибрационное и тепловое числа Грасгофа, частота модуляции, волновое число и угол наклона преобразуются по следующим формулам:

$$\begin{aligned} \text{Gr}_v = \bar{\text{Gr}}_v/a, \quad \text{Gr} = \bar{\text{Gr}} \sqrt{\sin^2 \bar{\alpha}_0 + \cos^2 \bar{\alpha}_0/a}, \\ \omega = \bar{\omega}, \quad k \equiv \sqrt{k_x^2 + k_y^2} = \bar{k}, \quad \text{tg} \alpha_0 = a \text{tg} \bar{\alpha}_0. \end{aligned} \quad (12)$$

Параметр  $a$  характеризует пространственные возмущения:

$$a = k_x / \sqrt{k_x^2 + k_y^2} = k_x / \bar{k}.$$

В случае вертикальной ориентации слоя ( $\alpha_0 = 0$ ) из (12) следует

$$\bar{\alpha}_0 = 0, \quad \text{Gr} = \bar{\text{Gr}}/a, \quad \text{Gr}_v = \bar{\text{Gr}}_v/a.$$

Поскольку параметр  $a$  меняется в интервале  $(0, 1)$ , то, как и в высокочастотном пределе [1],  $\text{Gr} > \bar{\text{Gr}}$ ,  $\text{Gr}_v > \bar{\text{Gr}}_v$ , т. е. плоские возмущения более опасны, чем пространственные.

В случае горизонтальной ориентации слоя ( $\alpha_0 = \pm 90^\circ$ ) основное течение имеет только термовибрационную составляющую и из (12) следует

$$\bar{\alpha}_0 = \pm 90^\circ, \quad \text{Gr} = \bar{\text{Gr}}, \quad \text{Gr}_v = \bar{\text{Gr}}_v/a.$$

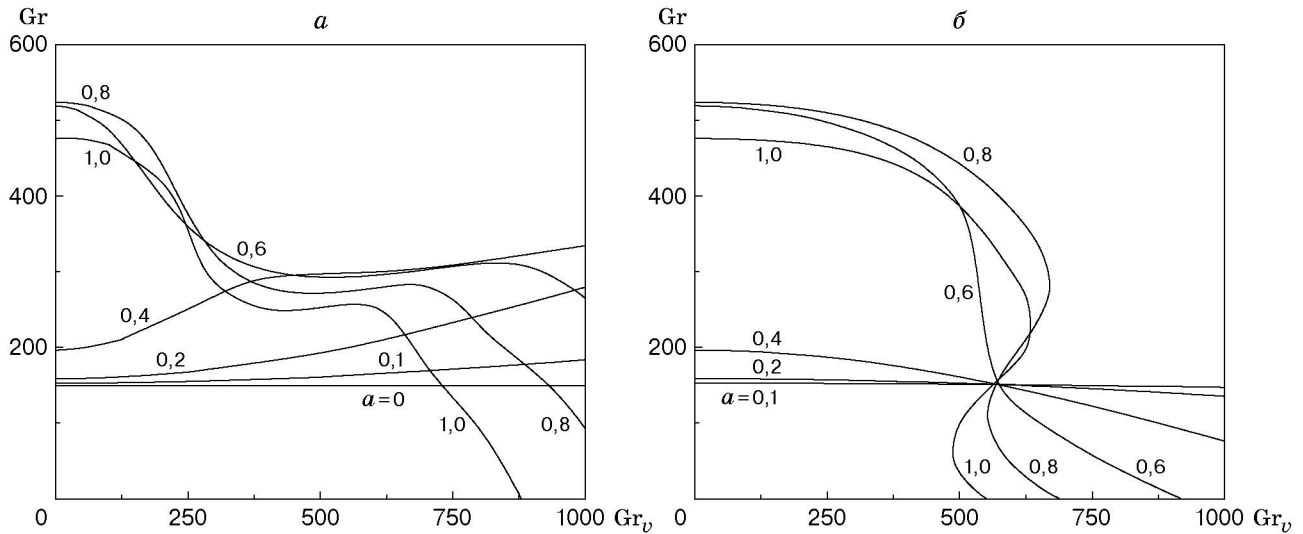


Рис. 2. Границы устойчивости при  $\alpha_0 = 45^\circ$ :  
 а —  $\omega = 2\pi$ ; б —  $\omega = 6\pi$

Таким образом, в случае, когда вибрации дестабилизируют равновесие, граница устойчивости течения по отношению к трехмерным возмущениям заведомо лежит в области, где двумерные возмущения неустойчивы, причем в точке  $Gr_v = 0$  имеется вырождение. При этом плоские и трехмерные возмущения одинаково опасны. Если вибрации стабилизируют равновесие жидкости по отношению к плоским возмущениям, то возможна конкуренция плоских и пространственных мод.

На рис. 2 представлены границы устойчивости течения по отношению к пространственным возмущениям при различных значениях параметра  $a$  и  $\alpha_0 = 45^\circ$ ,  $\omega = 2\pi, 6\pi$ . Из рис. 2 следует, что при малых амплитудах вибрации ( $Gr_v \rightarrow 0$ ) уменьшение параметра  $a$  начиная с некоторого значения приводит к понижению порогов устойчивости  $Gr$ ; наиболее опасными являются спиральные возмущения ( $a = 0$ , граница неустойчивости превращается в прямую, параллельную оси  $Gr_v$ ). При малой интенсивности термогравитационного течения ( $Gr \rightarrow 0$ ) уменьшение параметра  $a$  приводит к росту критической амплитуды вибрации  $Gr_v$ , соответствующей порогу устойчивости, следовательно, наиболее опасны плоские возмущения ( $a = 1$ ).

Сценарий эволюции границы устойчивости при переходе от плоских возмущений ( $a = 1$ ) к спиральным ( $a = 0$ ) зависит от частоты. При частоте  $\omega = 2\pi$  (рис. 2, а) зависимость  $Gr = f(Gr_v)$  для плоских возмущений имеет локальный максимум в области  $Gr_v \approx 600$ . С уменьшением параметра  $a$  этот максимум сдвигается в область больших значений  $Gr_v$ , а затем становится абсолютным и вытесняется на бесконечность. Для частоты  $\omega = 6\pi$  (рис. 2, б) зависимость  $Gr = f(Gr_v)$  при любых значениях  $a$  имеет только один максимум при  $Gr_v = 0$ . При  $a = 0,2; 0,4$  зависимости  $Gr = f(Gr_v)$  параболические; вибрации дестабилизируют равновесие относительно этих пространственных мод.

Граница устойчивости для спиральных возмущений ( $a = 0$ ) может быть определена из (10) при  $k_x = 0$ :

$$\frac{\partial v_x}{\partial t} = v_x'' - k_y^2 v_x + Gr \theta \cos \alpha_0 + Gr_v \theta \sin(\omega t),$$

$$\frac{\partial v_y}{\partial t} = -ik_y p + v_y'' - k_y^2 v_y, \quad \frac{\partial v_z}{\partial t} = -p' + v_z'' - k_y^2 v_z + Gr \theta \sin \alpha_0,$$

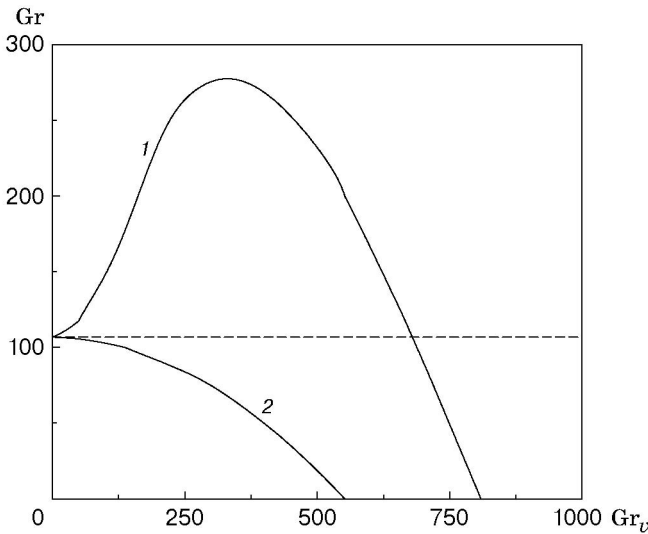


Рис. 3. Границы устойчивости для горизонтального слоя ( $\alpha_0 = 90^\circ$ ):  
 1 —  $\omega = \pi$ ; 2 —  $\omega = 8\pi$ ; штриховая линия — граница устойчивости по отношению к спиральной моде  $Gr_{sp}$

$$\frac{\partial \theta}{\partial t} - v_z = \frac{1}{Pr}(\theta'' - k_y^2 \theta), \quad ik_y v_y + v'_z = 0, \quad (13)$$

$$z = \pm 1: \quad v_x = v_y = v_z = 0, \quad \theta = 0.$$

Критическое число Грасгофа для спиральных возмущений  $Gr_{sp}$  не зависит от амплитуды и частоты вибрации. Эти параметры влияют лишь на интенсивность скорости возмущенного движения вдоль конвективных валов. Анализ уравнений (13) показывает, что  $Gr_{sp}$  соответствует случаю термогравитационного течения в отсутствие вибраций:  $Gr = 106,7 / (Pr \sin \alpha_0)$  [8]. Область абсолютной устойчивости комбинированного термогравитационного и термовибрационного течения (рис. 2) находится между осями координат, горизонтальной границей для спиральных возмущений ( $a = 0$ ) и правой границей для плоских возмущений ( $a = 1$ ).

В случае горизонтальной ориентации слоя ( $\alpha_0 = 90^\circ$ ) границы устойчивости течения по отношению к спиральным и плоским возмущениям приведены на рис. 3. Кривые 1, 2 — результаты работы [7]. Из рис. 3 следует, что при частоте  $\omega = 8\pi$  порог устойчивости полностью определяется поведением плоских возмущений. В случае частоты вибраций  $\omega = \pi$  в интервале вибрационных чисел Грасгофа  $0 < Gr_v < 683,8$  граница неустойчивости ( $Gr = 106,7$ ) обусловлена спиральными возмущениями; при больших амплитудах вибрации ( $Gr_v > 683,8$ ) на линии  $Gr = f(Gr_v)$  нарастают плоские возмущения.

**Заключение.** С использованием теории Флоке рассмотрена проблема неустойчивости течения однородной жидкости в наклонном слое под действием силы тяжести и продольных вибраций конечной частоты. В случае плоских возмущений в зависимости от характеристик параметрического воздействия возможны как дестабилизация основного состояния, так и его стабилизация. В исследованном диапазоне углов наклона слоя, амплитуд и частот вибрации неустойчивость течения вызывают синхронные возмущения. Для случая периодического термовибрационного течения получены преобразования, связывающие характеристики плоских и пространственных возмущений. Показано, что в общем случае устойчивость основного течения могут нарушать либо спиральные, либо плоские возмущения. Критические характеристики спиральных возмущений не зависят от амплитуды и частоты вибраций.



## ЛИТЕРАТУРА

1. **Gershuni G. Z., Lyubimov D. V.** Thermal vibrational convection. L.: John Wiley and Sons, 1998.
2. **Зеньковская С. М., Симоненко И. Б.** О влиянии вибрации высокой частоты на возникновение конвекции // Изв. АН СССР. Механика жидкости и газа. 1966. № 5. С. 51–55.
3. **Космическое** материаловедение. Введение в научные основы космической технологии / Под ред. Б. Фюрбахера и др. М.: Мир, 1989.
4. **Гершуни Г. З., Жуховицкий Е. М.** Конвективная устойчивость несжимаемой жидкости. М.: Наука, 1972.
5. **Ahlers G., Hohenberg P. C., Lücke M.** Thermal convection under modulation of the driving force. 1. The Lorenz model // Phys. Rev. A. 1985. V. 32. P. 3493–3518.
6. **Гершуни Г. З., Келлер И. О., Смородин Б. Л.** О вибрационно-конвективной неустойчивости в невесомости: Конечные частоты // Докл. РАН. 1996. Т. 348, № 2. С. 194–196.
7. **Гершуни Г. З., Келлер И. О., Смородин Б. Л.** О вибрационно-конвективной неустойчивости плоского горизонтального слоя жидкости при конечных частотах вибрации // Изв. РАН. Механика жидкости и газа. 1996. № 5. С. 44–51.
8. **Гершуни Г. З., Жуховицкий Е. М., Непомнящий А. А.** Устойчивость конвективных течений. М.: Наука, 1989.
9. **Шарифулин А. Н.** Устойчивость конвективного движения в вертикальном слое при наличии продольных вибраций // Изв. АН СССР. Механика жидкости и газа. 1983. № 2. С. 186–188.
10. **Coddington E. A., Levinson N.** Theory of ordinary differential equations. N. Y.: McGraw-Hill, 1955.

*Поступила в редакцию 15/VII 2002 г.,  
в окончательном варианте — 13/VIII 2002 г.*

---